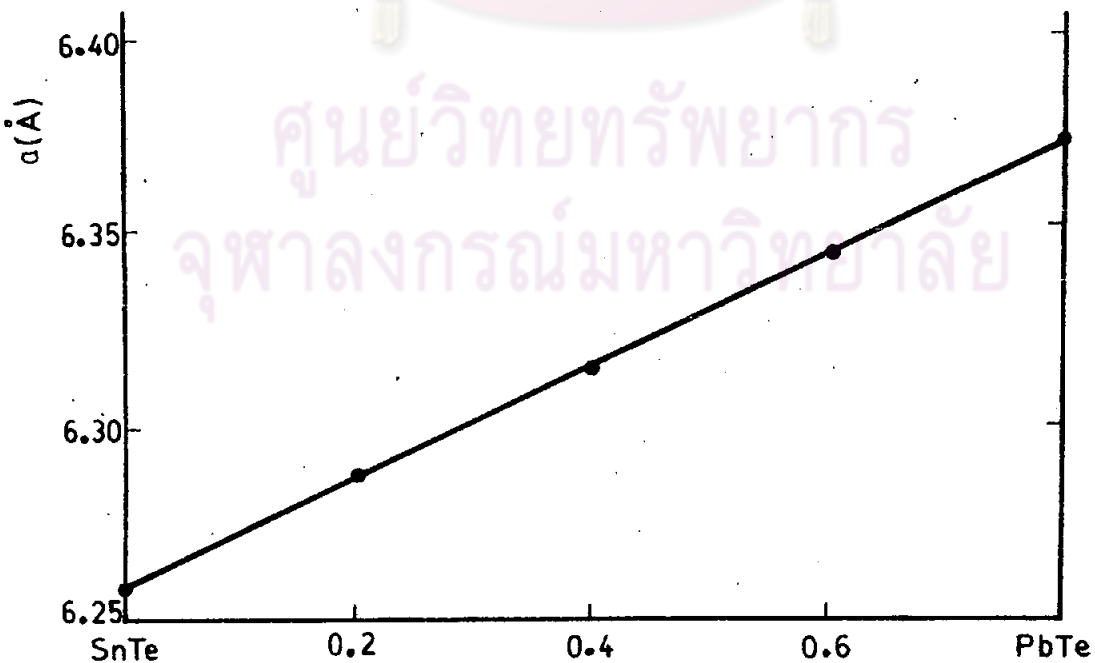


สุรุปและวิจารณ์ผลการทดลอง

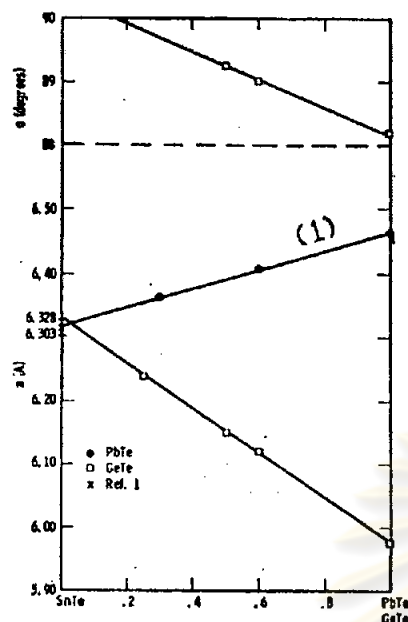
หน่วยเดลล์ของโลหะผลลัพธ์ $Pb_{1-x-y} Sn_x Ge_y Te$ โดย $y = 0.2$ คงที่ สำหรับความถี่ของการทดลองน้ำยา เชิงกราฟเทียบกับส่วนผสมของโลหะผลลัพธ์จะได้เป็นกราฟเส้นตรงตามรูปที่ 6.1

โลหะผลลัพธ์ศักยภาพมีส่วนผสมของ $Ge Te$ คงที่เป็น 20 เปอร์เซนต์โมล เมื่อเปรียบเทียบกับการทดลองของ Mazelsky & Lubell ตามรูปที่ 6.2 (ก) ซึ่งเป็นโลหะผลลัพธ์ $Ge Te$ คงที่เป็น 0 เปอร์เซนต์โมลกราฟเส้นที่ (1) พบร้ากราฟที่ได้มีสักษณะเป็นกราฟเส้นตรงคล้ายกัน

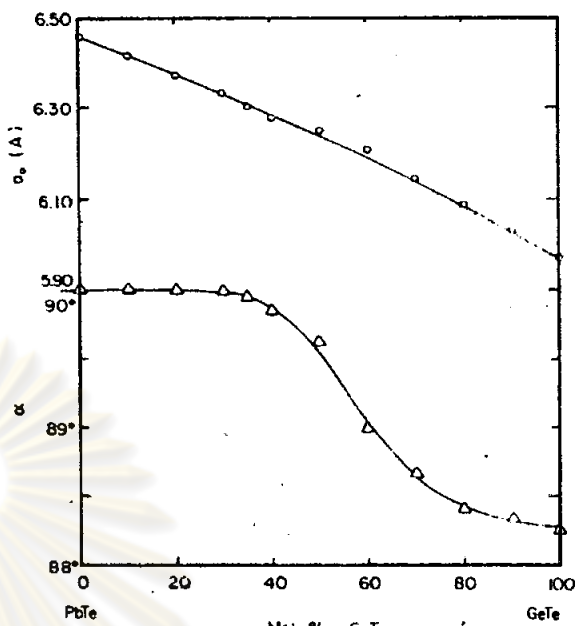
หน่วยเดลล์ของโลหะผลลัพธ์ $Pb_{0.8} Ge_{0.2} Te$ และ $Sn_{0.8} Ge_{0.2} Te$ เมื่อเปรียบเทียบกับการทดลองของ Mazelsky & Lubell รูปที่ 6.2(ก) และการทดลองของ Woolley & Nikolic รูปที่ 6.2 (ข) เคพาของโลหะผลลัพธ์ทั้งสองพบว่าค่าหน่วยเดลล์ใกล้เคียงกัน



รูปที่ 6.1 แสดงความสัมพันธ์ระหว่างหน่วยเดลล์กับส่วนผสมของโลหะผลลัพธ์ 20 เปอร์เซนต์โมลของ $Ge Te$



รูปที่ 6.2 (ก) การทดลองของ Mazelsky & Lubell



รูปที่ 6.2 (ข) การทดลองของ Woolley & Nikolic

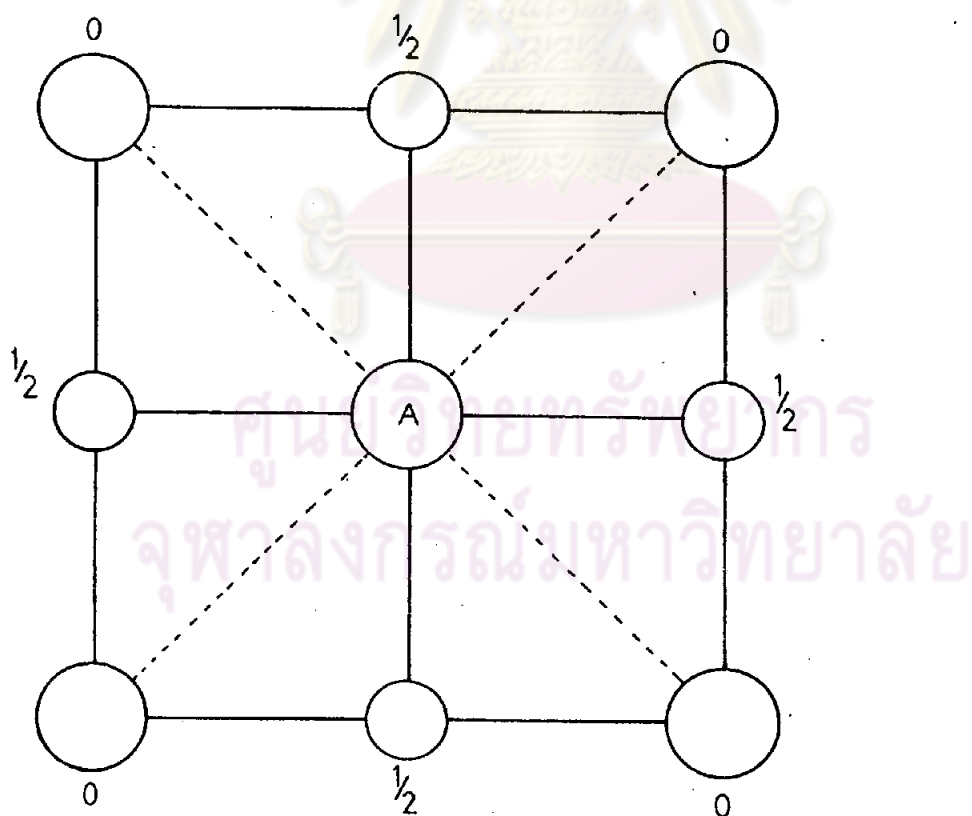
จากการศึกษาโครงสร้างของโลหะผสม $Pb_{0.6} Sn_{0.2} Ge_{0.2} Te$ โดยวิธีการเสียบเข็นรังสีอิเล็กซ์ของผลึกเตี้ยๆ ปรากฏว่าได้ข้อมูลผลึกโดยทั่วไปเป็น ตามตารางที่ 6.1

ตารางที่ 6.1 ผลลัพธ์ของผลึกโดยทั่วไปของโลหะผสม $Pb_{0.6} Sn_{0.2} Ge_{0.2} Te$

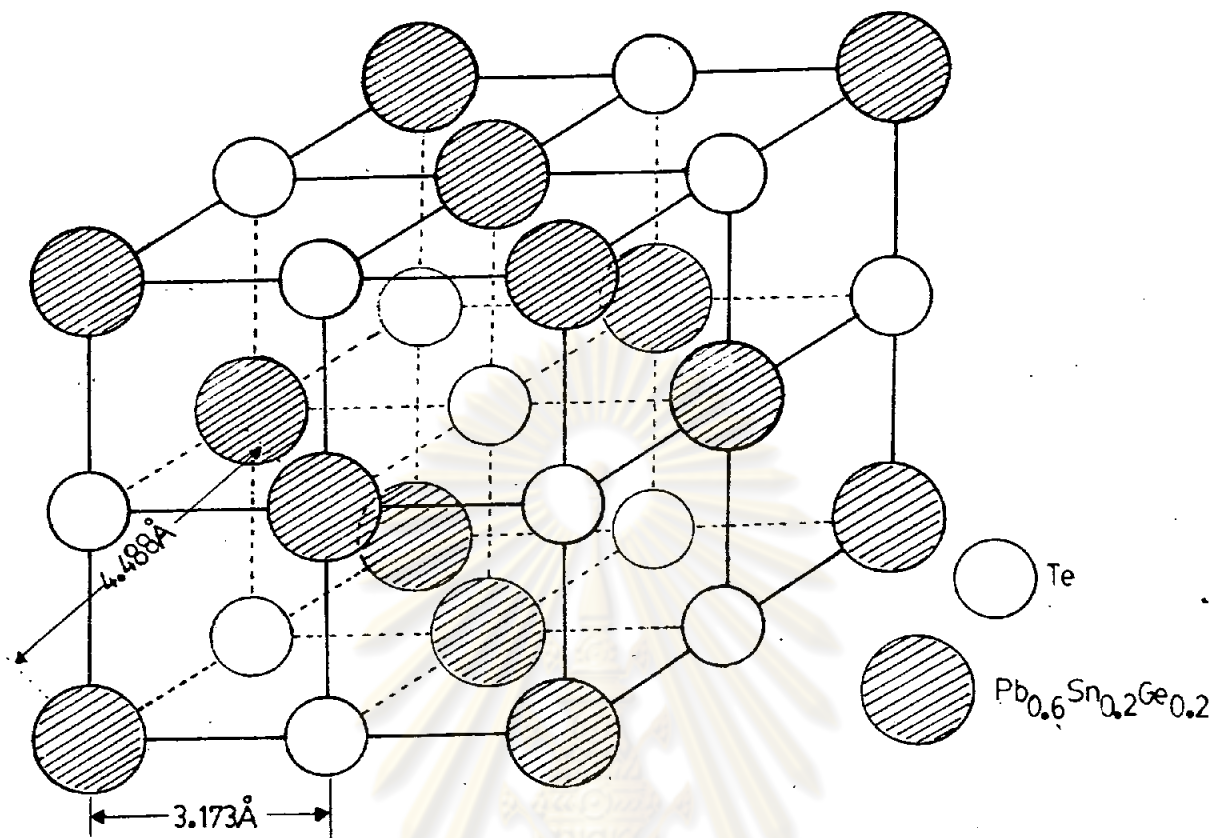
ระบบผลึก	ค่าบิ๊ก
a	6.3464 (3) Å
หน่วยมาตราสัมมติ	Fm3m
μ	815 ซม.^{-1}
Z	4
D _x	7.54 กรัม ซม.^{-3}
D _m	8.04 กรัม ซม.^{-3}

ลักษณะเด่นของatomของโลหะผู้มีการศึกษาโดยวิธีสักเตี้ยของ $Pb_{0.6}$

$Sn_{0.2} Ge_{0.2} Te$ พบว่าโครงสร้างของatomมีลักษณะเหมือนกับโครงสร้างของ $NaCl$ โดยมีโครงสร้างของ $Pb_{0.6} Sn_{0.2} Ge_{0.2}$ อยู่ที่ตำแหน่ง 4a (International Table. Vol.I , 1952) คือ $0, 0, 0 ; \frac{1}{2}, \frac{1}{2}, 0; \frac{1}{2}, 0, \frac{1}{2}$ และ $0, \frac{1}{2}, \frac{1}{2}$ และ Te อยู่ที่ตำแหน่ง 4b คือ $\frac{1}{2}, \frac{1}{2}, \frac{1}{2}; \frac{1}{2}, 0, 0; 0, 0, \frac{1}{2}$ และ $0, \frac{1}{2}, 0$ ตารางธาตุของ A ในรูปที่ 6.3 (ก) มีอัตราการซึ้งของatomข้างต้น 4 อะตอมและที่สูงขึ้นมาเรียกครึ่งหนึ่งกับลงไปข้างล่างเรียกครึ่งหนึ่งจะมีอัตราการซึ้งของatomข้างต้น 4 อะตอมเท่า ๆ กัน รวมเป็นอัตราการซึ้งของatomที่จะบานกว้างลง 12 อะตอม ระยะระหว่างอัตราการซึ้งของatomที่บานกว้างจะเป็น 4.488 \AA เท่ากัน และระยะระหว่างอัตราการซึ้งของatomที่บานกว้างจะเป็น 3.173 \AA เท่ากัน ตามรูปที่ 6.3 (ข) ซึ่งได้แสดงในรูปแบบ (model) ของหน่วยเซลล์ที่ได้ศึกษา พบว่าโครงสร้าง เป็นเหล็กชีนเตอร์คิวบิกมีหมู่ล้มมาตราลามมิติเป็น $Fm\bar{3}m$ เช่นเดียวกับโครงสร้างของ $NaCl$



รูปที่ 6.3 (ก) แสดงภาพถ่ายบนฐาน (100) ของหน่วยเซลล์



รูปที่ 6.3 (ข) แสดงอะตอมในหน่วยเซลล์ของผลึก $Pb_{0.6} Sn_{0.2} Ge_{0.2} Te$
โครงสร้างคิวบิกหนู่สัมมาตรลามมิติ $Fm\bar{3}m$

จากการเปรียบเทียบแฟคเตอร์โครงสร้างคำนวณและแฟคเตอร์โครงสร้างสังเกต
ตั้งได้แล้วในตารางที่ 5.8 บทที่ 5 พบร้อยละโดยวิธีผลักเดียวยุติที่ได้จากค่า เจสบีของอุต
สัลก้อน $o k 1$ และ $o \bar{k} 1$ ให้ค่า R น้อยที่สุดเป็น 7.43% มีค่า Fo และ Fc
ไกล์เสียงกันมากที่สุด และข้อมูลยุติที่ได้จากอุตสัลก้อน $o k 1$ ให้ค่า $R = 10.84\%$
พบว่าค่า Fo และ Fc มีค่าไกล์เสียงกันพอใช้ได้ ส่วนข้อมูลโดยวิธีผลักเดียวยุติที่ได้จากพื้นที่
ใต้เล็บគังพบว่า ค่า Fo และ Fc มีค่าไกล์เสียงกันพอสมควรได้ค่า $R = 8.91\%$
และข้อมูลที่อ่านได้จากเครื่องอินซิเกอร์เตอร์แพกเกจนั้นได้ค่า $R = 10.70\%$ พบว่าค่า Fo
และ Fc มีค่าไกล์เสียงกันอยู่ในเกณฑ์ใช้ได้

ในกรณีที่จำเป็นต้องใช้วิธีผลักเดียวยุติ เนื่องจากความสามารถในการตัดสินผลักเดียวยุติโดยวิธีการอื่นๆ ไม่สามารถดำเนินการได้ จึงเป็นสิ่งสำคัญ จากการทดลองพบว่าการเก็บข้อมูลความเข้มโดย

รีเซ็ตสิ่งค่อนข้างยาก เย็น ในกรณีของเครื่องอินกิเกอร์เตอร์แพกเกจ ซึ่งเป็นเครื่องมือทางวิศวกรรมคือใช้วิธีการอุปกรณ์เป็นพื้นฐานซึ่งจะครอบคลุมไปทั่วทุกภูมิภาคที่ผ่านเข้ามาปัจจุบัน เครื่องนี้ ตั้งนั่งภายในเครื่องห้องแฟรงก์ฟอร์ตมีเตอร์ ถ้าได้มีสัญญาณไฟฟ้า เข้ามารับกัน ผลของความเย็นที่ผ่านเข้ามา เครื่องอินกิเกอร์เตอร์แพกเกจก็จะถูกดูแลได้ ซึ่งควรพิจารณาตัดแปลงแก้ไขเครื่องอินกิเกอร์เตอร์แพกเกจต่อไป ในกรณีที่มุ่งแปรรูปสูง ๆ ศักดิ์วัดได้จะมีค่าต่ำมาก แต่แนวกราวด์ของพิกัดมีมากขึ้นซึ่งทำให้วัดความเย็นผิดไปบ้าง และการตั้งค่าต่าง ๆ ของเครื่องห้องแฟรงก์ฟอร์ตมีผลต่อความเย็นที่วัดได้เย็น เครื่องนับแบบสตั๊วันวัดไม่สอดคล้องกับเวลาที่ใช้ในการสแกนของเครื่องนับก็มีผลด้วย เช่นกัน

ส่วนในกรณีการรัตติ่นที่ได้เล่นโคงเน็ตฯ ให้ได้รับเชื่อมโยงกับเครื่องห้องแฟรงก์ฟอร์ต มีผลอย่างมากต่อข้อมูลความเย็น เช่น เมื่อลดความเร็วของการสแกนเครื่องนับแบบสตั๊วันของเครื่องห้องแฟรงก์ฟอร์ตและลดเวลาคงที่ของ เครื่องนับแบบสตั๊วันลง ก็จะทำให้ข้อมูลถูกต้องยิ่งขึ้น รวมทั้งการรัตติ่งข้อมูลความเย็นจากภาพห้องแฟรงก์ฟอร์ตและโปรแกรมโดยการแบ่ง เป็นช่วง เช่น ถ้าเราแบ่งได้ลับ เรียกเท่าไก่ยิ่งจะทำให้ข้อมูลความเย็นที่ได้ถูกต้องยิ่งด้วย

ศูนย์วิทยทรัพยากร จุฬาลงกรณ์มหาวิทยาลัย